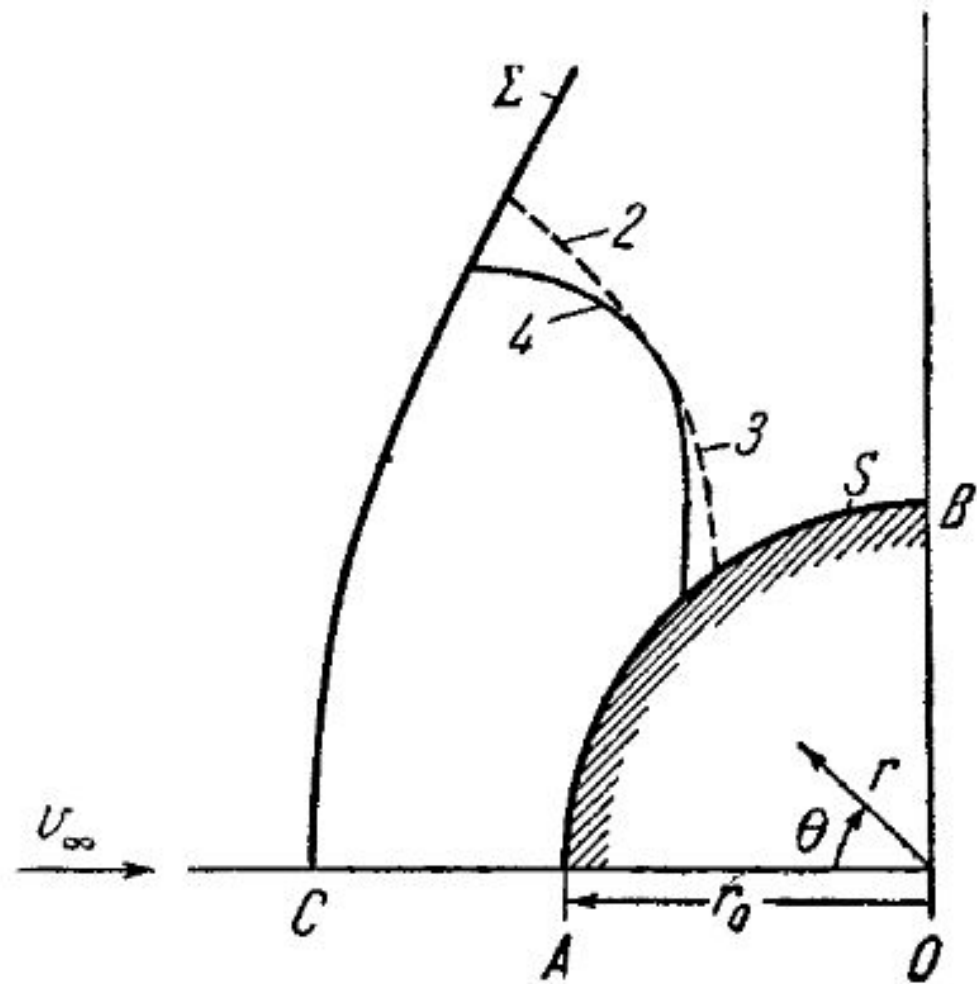


Численные методы решения плоских задач газовой динамики. Расчет сверхзвукового обтекания круглого цилиндра



Уравнения плоской вихревой стационарной задачи в полярных координатах

Уравнения движения:

$$v_r \frac{\partial v_r}{\partial r} + \frac{v_\theta}{r} \frac{\partial v_r}{\partial \theta} - \frac{v_\theta^2}{r} = -\frac{1}{\rho} \frac{\partial p}{\partial r},$$

$$v_r \frac{\partial v_\theta}{\partial r} + \frac{v_\theta}{r} \frac{\partial v_\theta}{\partial \theta} + \frac{v_r v_\theta}{r} = -\frac{1}{r\rho} \frac{\partial p}{\partial \theta}$$

Условие адиабатичности:

$$v_r \frac{\partial \vartheta}{\partial r} + \frac{v_\theta}{r} \frac{\partial \vartheta}{\partial \theta} = 0,$$

$$\vartheta = p^{1/\kappa} \rho^{-1},$$

$$\frac{1}{\rho} p^{1/\kappa} = \vartheta(\psi).$$

Уравнение неразрывности:

$$\frac{\partial r \rho v_r}{\partial r} + \frac{\partial \rho v_\theta}{\partial \theta} = 0.$$

Функция тока: $\psi(r, \theta)$

$$r \rho v_r = -\frac{\partial \psi}{\partial \theta}, \quad \rho v_\theta = \frac{\partial \psi}{\partial r}$$

Уравнение Бернулли:

$$\frac{v_r^2 + v_\theta^2}{2} + \frac{\kappa \vartheta^\kappa}{\kappa - 1} p^{\frac{(\kappa - 1)}{\kappa}} = \frac{v_{\max}^2}{2}$$

$$v_{\max}^2 = (\kappa + 1)/(\kappa - 1) a_*^2$$

Умножая (1) на rg и используя (3) получим:

$$\frac{\partial}{\partial r} (r \rho v_r^2 + pr) + \frac{\partial \rho v_\theta v_r}{\partial \theta} = v_\theta^2 \rho + p$$

$$\frac{\partial}{\partial r} (r v_r \tau) + \frac{\partial}{\partial \theta} (v_\theta \tau) = 0,$$

$$\tau = \left(1 - \frac{v_r^2 + v_\theta^2}{v_{\max}^2} \right)^{\frac{1}{\kappa - 1}}$$

Используя (4), получим для изменения ψ вдоль какой-то линии $r = R(\theta)$ соотношение:

$$\frac{d\psi}{d\theta} = \rho \left(v_\theta \frac{dR}{d\theta} - r v_r \right)$$

$$\frac{p}{p_0} = \left(\frac{\vartheta}{\vartheta_0} \right)^{-\frac{\kappa}{\kappa-1}} \left(1 - \frac{v_r^2 + v_\theta^2}{v_{\max}^2} \right)^{\frac{\kappa}{\kappa-1}} = \left(\frac{\vartheta}{\vartheta_0} \right)^{-\frac{\kappa}{\kappa-1}} \tau^\kappa,$$

$$\frac{\rho}{\rho_0} = \left(\frac{\vartheta}{\vartheta_0} \right)^{-\frac{\kappa}{\kappa-1}} \left(1 - \frac{v_r^2 + v_\theta^2}{v_{\max}^2} \right)^{\frac{1}{\kappa-1}} = \left(\frac{\vartheta}{\vartheta_0} \right)^{-\frac{\kappa}{\kappa-1}} \tau.$$

Краевые условия задачи на поверхности разрыва Σ и на обтекаемом цилиндре S :

$$v_x = v_\infty \left(1 + \frac{2}{\kappa + 1} \frac{a_\infty^2}{v_\infty^2} - \frac{2}{\kappa + 1} \cos^2 \varphi \right)$$

$$v_y = v_\infty \frac{2}{\kappa + 1} \operatorname{tg} \varphi \left(\frac{a_\infty^2}{v_\infty^2} - \cos^2 \varphi \right),$$

$$\frac{v_\infty^2}{2} + \frac{a_\infty^2}{\kappa - 1} = \frac{1}{2} v_{\max}^2,$$

$$\left(\frac{a_\infty}{v_\infty} \right)^2 = \frac{\kappa - 1}{2} \left(\frac{v_{\max}^2}{v_\infty^2} - 1 \right)$$

Сочетая (13), (14) с:

$$\left. \begin{aligned} v_r &= v_y \sin \theta - v_x \cos \theta, \\ v_\theta &= v_x \sin \theta + v_y \cos \theta, \end{aligned} \right\}$$

До прохождения разрыва:

$$\frac{\partial \psi}{\partial r} = \rho_{\infty} v_{\infty} \sin \theta = \rho_0 \left(1 - \frac{v_{\infty}^2}{v_{\max}^2} \right)^{\frac{1}{x-1}} v_{\infty} \sin \theta.$$

На поверхности разрыва:

$$\psi = \rho_0 \left(1 - \frac{v_{\infty}^2}{v_{\max}^2} \right)^{\frac{1}{x-1}} v_{\infty} r \sin \theta.$$

При этом, если поверхность Σ имеет уравнение:

$$r = r_0 + e(\theta).$$

То:

$$\frac{de}{d\theta} = -(r_0 + e) \operatorname{ctg} \left(\frac{\pi}{2} - \varphi - \theta \right)$$

Для определения значений ϑ после прохождения разрыва:

$$\vartheta^x = \frac{p}{p^x}; \quad \left(\frac{\vartheta}{\vartheta_0} \right)^x = \frac{p}{p_0} \left(\frac{p_0}{p} \right)^x = \frac{p}{p_\infty} \left(\frac{p_\infty}{p} \right)^x;$$

$$\left(\frac{\vartheta}{\vartheta_0} \right)^x = \left(\frac{x-1}{x+1} \right)^x \left(\frac{2x}{x+1} \frac{v_\infty^2}{a_\infty^2} \cos^2 \varphi - \frac{x-1}{x+1} \right) \left(1 + 2 \frac{a_\infty^2}{v_\infty^2} \frac{1 + \operatorname{tg}^2 \varphi}{x-1} \right)^x$$

Краевые условия на обтекаемом цилиндре:

$$\text{при } r=r_0 \quad v_r=0 \quad \psi=0.$$

$$\text{при } r=r_0: \left(\frac{\vartheta}{\vartheta_0} \right)^x = \left(\frac{x-1}{x+1} \right)^x \left(\frac{2x}{x+1} \frac{v_\infty^2}{a_\infty^2} - \frac{x-1}{x+1} \right) \left(1 + \frac{2}{x-1} \frac{a_\infty^2}{v_\infty^2} \right)^x$$

Аппроксимирующая система О. М.
Белоцерковского на
основе метода интегральных соотношений А.
А. Дородницына.

Разобьём всю область между цилиндром S и поверхностью разрыва Σ на N полосок, проводя $N-1$ кривую с уравнениями:

$$r = r_i(\theta) = r_0 + \frac{i}{N} e(\theta), \quad i = 1, 2, \dots, N-1.$$

Линии равноудалены на: $e(\theta)/N$

Проинтегрируем обе части уравнения (8) по r вдоль произвольного луча $\theta = \text{const}$:

$$\begin{aligned} \frac{d}{d\theta} \int_{r_0}^{r_i(\theta)} (\rho v_\theta v_r) dr - \frac{i}{N} (\rho v_\theta v_r)_i \frac{de}{d\theta} + (r \rho v_r^2 + pr)_i - (pr)_S = \\ = \int_{r_0}^{r_i(\theta)} (v_\theta^2 \rho + p) dr, \quad i = 1, 2, \dots, N. \\ ((v_r)_S = 0). \end{aligned}$$

Аналогичная операция для уравнения (9):

$$\frac{d}{d\theta} \int_{r_0}^{r_i(\theta)} v_{\theta} \tau dr - \frac{i}{N} (v_{\theta} \tau)_i \frac{de}{d\theta} + (r v_r \tau)_i = 0, \quad i = 1, 2, \dots, N.$$

Предыдущие 2 уравнения содержат интегралы вида:

$$\int_{r_0}^{r_i(\theta)} f(r, \theta) dr.$$

Аппроксимируя теперь любую подынтегральную функцию интерполяционным полиномом по r степени N , принимая за узлы интерполяций границы полос:

$$f(r, \theta) = \sum_{m=0}^N a_m(\theta) \left[\frac{r - r_0}{e(\theta)} \right]^m$$

Коэффициенты $a_m(\theta)$ выразим как:

$$\sum_{m=0}^N a_m \left(\frac{i}{N} \right)^m = f_i, \quad i = 1, 2, \dots, N.$$

$$a_0 = f_0, \quad a_m = b_{jm}f_0 + \sum_{j=1}^N b_{jm}f_j \quad (m = 1, 2, \dots, N)$$

$N=1$ имеем

$$b_{01} = -1, \quad b_{11} = +1.$$

Для $N=2$ имеем

$$b_{01} = -3, \quad b_{11} = 4, \quad b_{21} = -1;$$

$$b_{02} = 2, \quad b_{12} = -4, \quad b_{22} = 2;$$

для $N=3$:

$$b_{01} = -\frac{11}{2}, \quad b_{11} = 9, \quad b_{21} = -\frac{9}{2}, \quad b_{31} = 1;$$

$$b_{02} = 9, \quad b_{12} = -\frac{45}{2}, \quad b_{22} = 18, \quad b_{32} = -\frac{9}{2};$$

$$b_{03} = -\frac{9}{2}, \quad b_{13} = \frac{27}{2}, \quad b_{23} = -\frac{27}{2}, \quad b_{33} = +\frac{9}{2}$$

Можем теперь вычислить

$$\bar{f}_i(\theta) = \int_{r_0}^{r_i(\theta)} f(r, \theta) dr.$$

С помощью (25):

$$\bar{f}_i(\theta) = \sum_{m=0}^m a_m(\theta) \int_{r_0}^{r_i(\theta)} \left[\frac{r-r_0}{e(\theta)} \right]^m dr = e(\theta) \sum_{m=0}^N \frac{a_m(\theta)}{m+1} \left[\frac{r_i-r_0}{e(\theta)} \right]^{m+1}$$

$$(i = 1, 2, \dots, N)$$

или по (22):

$$\bar{f}_i(\theta) = e(\theta) \sum_{m=0}^N \frac{a_m(\theta)}{m+1} \left(\frac{i}{N} \right)^{m+1}$$

$$i = 1, 2, \dots, N.$$

$$\bar{f}_i(\theta) = e(\theta) \left(\beta_{0i} f_0 + \sum_{j=1}^N \beta_{ji} f_j \right) \quad (f_N = f_\Sigma),$$

$$i = 1, 2, \dots, N.$$

Для $N = 1$

$$\beta_{01} = \frac{1}{2}, \quad \beta_{11} = \frac{1}{2}.$$

Для $N = 2$

$$\beta_{01} = \frac{5}{24}, \quad \beta_{11} = \frac{1}{3}, \quad \beta_{21} = -\frac{1}{24},$$

$$\beta_{02} = \frac{1}{6}, \quad \beta_{12} = \frac{2}{3}, \quad \beta_{22} = \frac{1}{6}.$$

Для $N = 3$

$$\beta_{01} = \frac{1}{8}, \quad \beta_{11} = \frac{19}{72}, \quad \beta_{21} = -\frac{5}{72}, \quad \beta_{31} = \frac{1}{72},$$

$$\beta_{02} = \frac{1}{9}, \quad \beta_{12} = \frac{4}{3}, \quad \beta_{22} = \frac{1}{9}, \quad \beta_{32} = 0,$$

$$\beta_{03} = \frac{1}{8}, \quad \beta_{13} = \frac{3}{8}, \quad \beta_{23} = \frac{3}{8}, \quad \beta_{33} = \frac{1}{8}.$$

$$f_j = \alpha_{0j} f_0 + \frac{1}{e(\theta)} \sum_{i=1}^N \alpha_{ij} \bar{f}_i^{-1})$$

Для $N=1$

$$\alpha_{01} = -1, \quad \alpha_{11} = 2.$$

Для $N=2$

$$\alpha_{01} = -\frac{1}{2}, \quad \alpha_{11} = 2, \quad \alpha_{21} = \frac{1}{2},$$

$$\alpha_{02} = 1, \quad \alpha_{12} = -8, \quad \alpha_{22} = 4.$$

Для $N=3$

$$\alpha_{01} = -\frac{1}{3}, \quad \alpha_{11} = \frac{3}{2}, \quad \alpha_{21} = \frac{3}{2}, \quad \alpha_{31} = -\frac{1}{6}$$

$$\alpha_{02} = \frac{1}{3}, \quad \alpha_{12} = -6, \quad \alpha_{22} = 3, \quad \alpha_{32} = \frac{2}{3},$$

$$\alpha_{03} = -1, \quad \alpha_{13} = \frac{27}{2}, \quad \alpha_{23} = -\frac{27}{2}, \quad \alpha_{33} = \frac{13}{2},$$

$$\left. \begin{aligned} \frac{d\bar{s}_l}{d\theta} &= \frac{i}{N} \bar{s}_l \frac{de}{d\theta} - (r\rho v_r^2 + pr)_l + (pr)_0 + (\overline{v_\theta^2 \rho + p})_i, \\ \frac{d\bar{t}_i}{d\theta} &= \frac{i}{N} \bar{t}_i \frac{de}{d\theta} - (rv_r \tau)_i, \end{aligned} \right\}$$

где:

$$s_i = (\rho v_\theta v_r)_i, \quad t_i = (v_\theta \tau)_i$$

С другой стороны, в силу (30):

$$\frac{ds_j}{d\theta} = \frac{1}{e(\theta)} \sum_{i=1}^N \alpha_{ij} \frac{d\bar{s}_l}{d\theta} - \frac{1}{e^2(\theta)} \frac{de}{d\theta} \sum_{i=1}^N \alpha_{ij} \bar{s}_i \quad (j = 1, 2, \dots, N).$$

Аналогично, для $dt_j/d\theta$

$$\frac{dt_j}{d\theta} - \alpha_{0j} \frac{dt_0}{d\theta} = \frac{1}{e(\theta)} \sum_{i=1}^N \alpha_{ij} \frac{d\bar{t}_i}{d\theta} - \frac{1}{e^2(\theta)} \frac{de}{d\theta} \sum_{i=1}^N \alpha_{ij} \bar{t}_i \quad (j = 1, 2, \dots, N).$$

Получим систему $2N(j=1, \dots, N)$ обыкновенных дифференциальных уравнений 1-го порядка, линейную относительно производных.

Система эта будет содержать:

- $2N + 1$ скорости: $(v_r)_1, (v_r)_2, \dots, (v_r)_N; (v_\vartheta)_S, (v_\vartheta)_1, \dots, (v_\vartheta)_N$
 $(v_r)_N = (v_r)_S, (v_\vartheta)_N = (v_\vartheta)_S,$
- $N+1$ функцию: $\vartheta_S, \vartheta_1, \dots, \vartheta_N$
- функцию: $e(\vartheta)$

Всего: $3N + 3$ функций

Теперь для $d(v_\theta)_\Sigma/d\theta$ и $d(v_r)_\Sigma/d\theta$ получим:

$$\frac{d(v_\theta)_\Sigma}{d\theta} = -n_1 \frac{d\varphi}{d\theta} - (v_r)_\Sigma, \quad \frac{d(v_r)_\Sigma}{d\theta} = m_1 \frac{d\varphi}{d\theta} + (v_\theta)_\Sigma$$

где:

$$m_1 = + \frac{dv_y}{d\varphi} \sin \theta - \frac{dv_x}{d\varphi} \cos \theta, \quad n_1 = - \left(\frac{dv_x}{d\varphi} \sin \theta + \frac{dv_y}{d\varphi} \cos \theta \right)$$

Так как:

$$\vartheta_i = \vartheta_i(\psi_i)$$

То:

$$d\vartheta_i/d\theta = d\vartheta_i/d\psi_i \cdot d\psi_i/d\theta.$$

С другой стороны:

$$\vartheta_i(\psi_i) = (\vartheta_\Sigma(\psi_\Sigma))_{\psi_\Sigma=\psi_i}$$

Поэтому:

$$d\vartheta_i/d\psi_i = (d\vartheta_\Sigma/d\psi_\Sigma)_{\psi_\Sigma=\psi_i}$$

Окончательное выражение:

$$\frac{d\vartheta_i}{d\theta} = \left(\frac{d\vartheta_\Sigma}{d\varphi} \frac{d\theta}{d\psi_\Sigma} \right)_{\psi_\Sigma=\psi_i} \frac{d\varphi}{d\theta} \rho_i \left[(v_\theta)_i \frac{i}{N} \frac{de}{d\theta} - r_i (v_r)_i \right]$$

Таким образом мы замкнули задачу: число уравнений будет равно числу искомых функций. При этом краевые условия на теле и ударной волне удовлетворяются автоматически при любом N .

на оси $\theta = 0$:

$$\begin{aligned}
 (v_\theta)_S = (v_\theta)_1 = \dots = (v_\theta)_{N-1} = 0, \quad \varphi = 0, \quad \vartheta_1 = \vartheta_2 = \dots = \vartheta_{N-1} = \\
 = \left(\frac{\kappa - 1}{\kappa + 1} \right) \left(1 + \frac{2}{\kappa - 1} \frac{a_\infty^2}{v_\infty^2} \right) \left(\frac{2\kappa}{\kappa + 1} \frac{v_\infty^2}{a_\infty^2} - \frac{\kappa - 1}{\kappa + 1} \right)^{\frac{1}{\kappa}}, \\
 \psi_1 = \psi_2 = \dots = \psi_{N-1} = 0.
 \end{aligned}$$

Неизвестными оказываются: $(v_r)_1, (v_r)_2 \dots (v_r)_{N-1}, e(0)$

Мы привели систему к виду, решённому относительно производных:

$$ds_j/d\theta, \quad dt_j/d\theta,$$

где: s_j и t_j определяются через: $(v_r)_j$ и $(v_\theta)_j$.

Используя это, получим:

$$\frac{dt_j}{d\theta} = -\frac{t_j (v_r)_j}{a_j^2} \frac{d(v_r)_j}{d\theta} + \frac{\tau_j}{a_j^2} (a^2 - v_\theta^2)_j \frac{d(v_\theta)_j}{d\theta}$$

$$\frac{ds_j}{d\theta} = \rho_0 \left(\frac{\vartheta_j}{\vartheta_0} \right)^{-\kappa/(\kappa-1)} \left[(v_r)_j \frac{dt_j}{d\theta} + t_j \frac{d(v_r)_j}{d\theta} - \frac{\kappa}{\kappa-1} t_j (v_r)_j \frac{d \ln \vartheta_j}{d\theta} \right]$$

Аппроксимирующую систему в нормальной форме можно записать так:

$$\frac{de}{d\theta} = -(r_0 + e) \operatorname{tg}(\theta + \varphi),$$

$$\frac{d\psi_j}{d\theta} = \rho_j \left(v, \frac{dr_j}{d\theta} - r v_r \right)_j,$$

$$\vartheta_j(\psi_j) = \vartheta_\Sigma(\psi_\Sigma)|_{\psi_\Sigma = \psi_j}, \quad \frac{d(v_r)_j}{d\theta} = v_j,$$

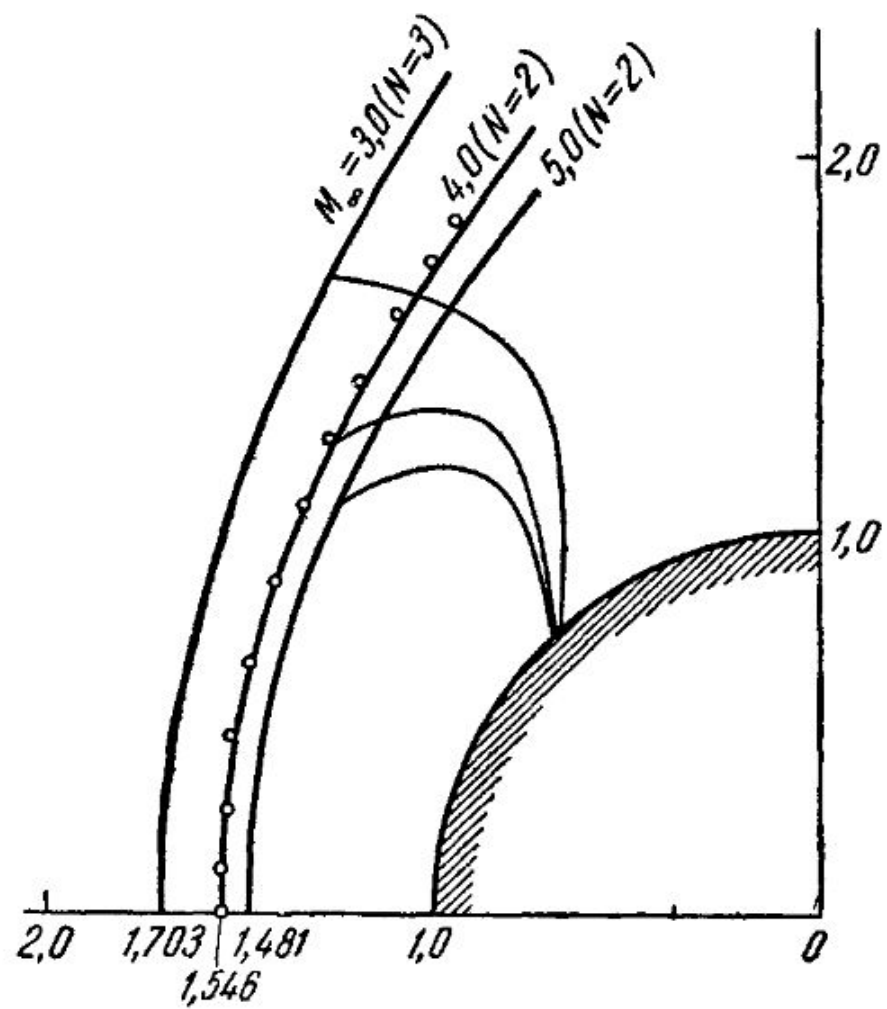
$$\frac{d(v_\theta)_s}{d\theta} = \frac{E_0}{a_s^2 - (v_\theta^2)_s}, \quad \frac{d(v_\theta)_j}{d\theta} = \frac{E_j}{a_j^2 - (v_\theta^2)_j},$$

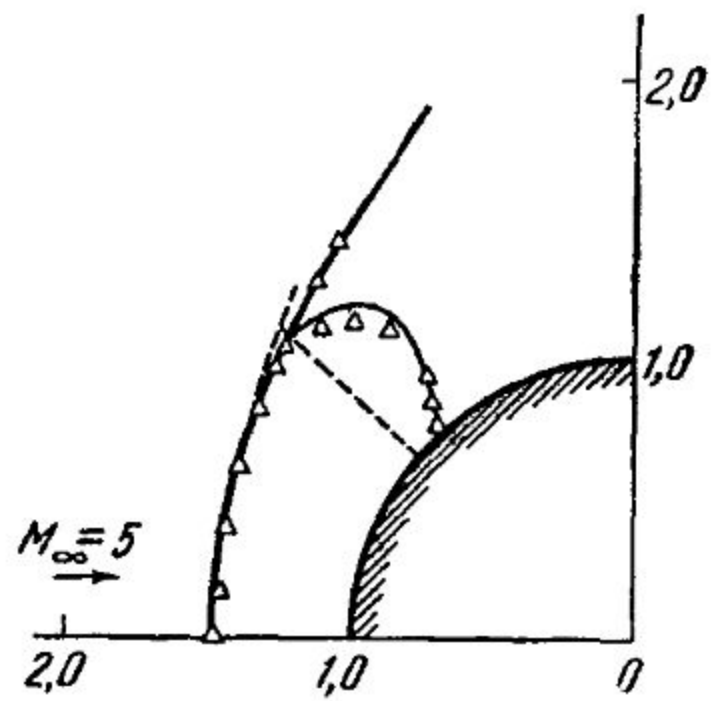
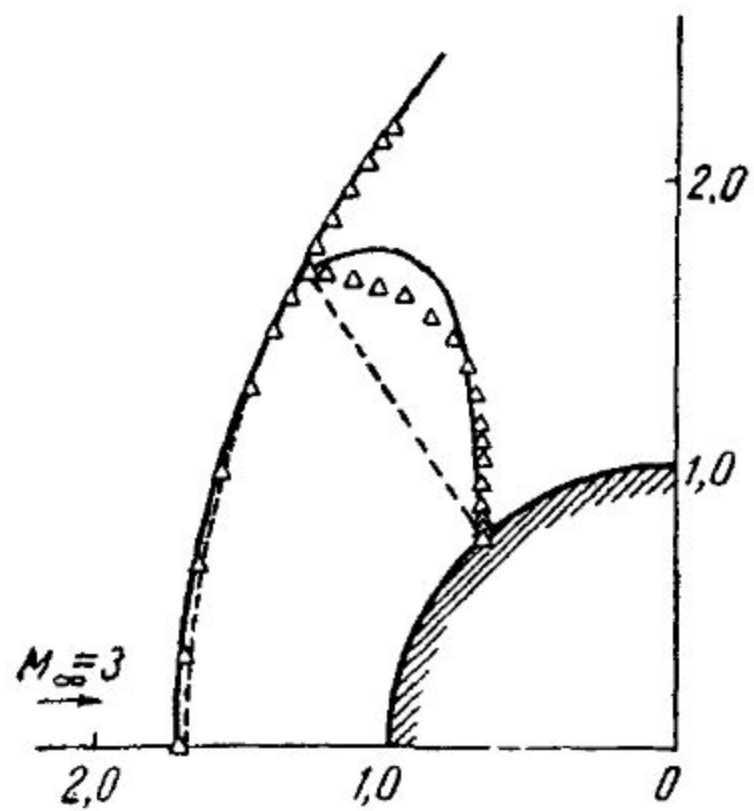
$$j = 1, 2, \dots, N-1.$$

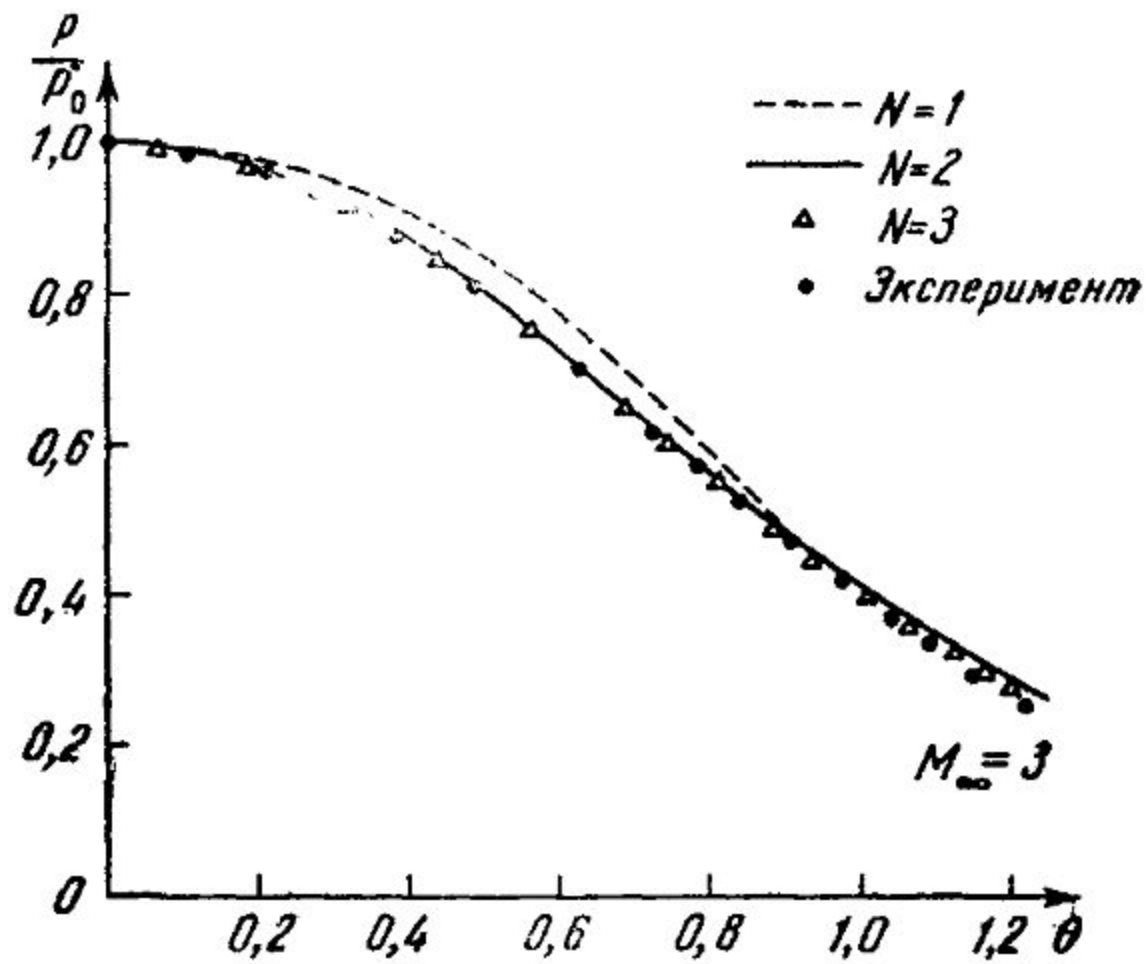
при: $(\bar{v}_0)_j = a_j$ должно быть: $E_j = 0$ ($j = s, 1, 2, \dots, N-1$).

Проведённый О. М. Белоцерковским анализ особых точек показывает, что в уравнениях (40) особенности будут типа «седла», причём во всей рассматриваемой области интегрирования существует единственное решение, голоморфное всюду и удовлетворяющее условиям как при $\theta = 0$, так и при $(v_\theta)_j = a_j$.

Техническая трудность: в особых точках в правых частях уравнений (40) будут неопределенности типа $0/0$.







Итог: как видим, уже расчёт по первому приближению даёт в основном правильное положение и форму ударной волны, распределение давления на теле, на волне.

Для определения величин в поле при $M_\infty \leq 3$ надо считать по крайней мере три приближения, в то время как при $M_\infty > 3$ достаточно двух.